

УДК 550.385.1: 550.37

## ВЫСТУПЫ ПЛАЗМОСФЕРЫ И ВАРИАЦИИ ГОРИЗОНТАЛЬНОЙ КОМПОНЕНТЫ ГЕОМАГНИТНОГО ПОЛЯ

© 2011 г. О. М. Бархатова<sup>1, 2</sup>, Н. А. Бархатов<sup>1, 2</sup>, П. А. Беспалов<sup>3</sup>

<sup>1</sup>Нижегородский государственный архитектурно-строительный университет (ННГАСУ), Нижний Новгород

<sup>2</sup>Нижегородский государственный педагогический университет (НГПУ), Нижний Новгород

<sup>3</sup>Институт прикладной физики РАН (ИПФ РАН), Нижний Новгород

e-mail: nbarkhatov@inbox.ru

Поступила в редакцию 28.06.2009 г.

После доработки 27.04.2010 г.

Рассмотрено влияние на уровень возмущенности горизонтальной компоненты наземного геомагнитного поля дневного и вечернего выступов плазмосферы на стадии распада кольцевого тока. Показано, что горизонтальная компонента геомагнитного поля меняется своеобразно и синхронно в области, отвечающей дневному выступу плазмосферы. Вне выступа, временной ход горизонтальной компоненты геомагнитного поля заметно отличается. Спектральный анализ возмущений горизонтальных компонент геомагнитного поля в диапазоне геомагнитных пульсаций показал, что на магнитных станциях расположенных на силовых линиях соответствующих дневному и вечернему выступам плазмосферы, наблюдается повышение интенсивности в диапазоне пульсаций  $Pc-4$ . Пульсации, обнаруженные в динамическом спектре горизонтальных компонент геомагнитного поля в области дневного выступа плазмосферы, вероятно, отражают резонансные колебания магнитных силовых линий в области продольных токов на сравнительно малых высотах. По нашему мнению, это обусловлено неустойчивостью продольных токов, возникающих вследствие взаимодействия энергичных ионов кольцевого тока с электромагнитными волнами в области относительно плотной фоновой плазмы дневного выступа.

### 1. ВВЕДЕНИЕ

Асимметрия возмущений геомагнитного поля была впервые обнаружена при сопоставлении магнитных записей на низкоширотных станциях, разнесенных по долготе [Нишида, 1980]. Исследование вклада асимметричного кольцевого тока в полную токовую систему  $DR$  [Liemohn et al., 2001] показало, что такой вклад на главной фазе геомагнитной бури составляет до 80%. Наличие асимметрии обычно связывают с формированием трехмерной токовой системы, включающей в себя часть кольцевого тока, токи вдоль силовых линий, и ионосферные токи [Grafe et al., 1997; Sun and Akasofu, 1999; Бархатов и др., 2008].

Изучение динамики кольцевого тока в течение магнитной бури предполагает рассмотрение наиболее важной части этой проблемы – замыкания асимметричной части кольцевого тока. Образование и развитие ассиметричного кольцевого тока сопровождается переносом энергии в ионосферу и формированием интенсивного субаврорального поляризационного тока. Под основными механизмами потерь энергичных ионов кольцевого тока в ионосферу обычно подразумевают столкновения с нейтральными атомами и рассеивание в конус потерь из-за взаимодействий частиц с электромагнитными волнами [Fok et al., 1991; Jordanova et al., 1996, 1997; Cornwall et al., 1970].

Согласно современным представлениям [Беспалов и Трахтенгерц, 1986], циклотронная неустойчивость (ЦН) энергичных ионов кольцевого тока является важным механизмом рассеивания ионов в конус потерь и их дальнейшего интенсивного высыпания в вечернем секторе. Наличие областей холодной плотной фоновой плазмы – вечернего выступа, а так же областей холодной “оторвавшейся” (detached) плазмы, может стимулировать развитие циклотронной неустойчивости именно в вечернем секторе [Trakhtengerts and Demekhov, 2005]. Экспериментальное подтверждение развития циклотронной неустойчивости при взаимодействии энергичных ионов с областями оторвавшейся плазмы получено в работе [Яхнин и др., 2006]. В этой работе были обнаружены локализованные высыпания энергичных протонов и электронов, регистрируемые низкоорбитальным спутником NOAA. Однако вопрос о роли высыпающихся частиц в эволюции асимметричного кольцевого тока на разных фазах геомагнитной бури остается до конца не выясненным. Кроме того, форма плазмосферы во время геомагнитных возмущений может существенно изменяться. В работе [Spasojević et al., 2003] показано образование дневного выступа плазмосферы, который формируется на фазе восстановления геомагнитной бури, поэтому можно предположить наличие благоприятных условий реализации циклотрон-

ной неустойчивости не только в вечернем, но и в дневном секторе магнитосферы.

В настоящей работе сделана попытка обнаружить последствия возникновения продольных токов, обусловленных интенсивными высыпаниями энергичных ионов кольцевого тока за счет их взаимодействия с электромагнитными волнами в области относительно плотной фоновой плазмы вечернего и дневного выступов. Для этого на стадии распада кольцевого тока выполнен анализ уровня возмущенности горизонтальной компоненты наземного геомагнитного поля на станциях, отвечающих областям выступов и вне их. Выполнен спектральный анализ возмущений горизонтальных компонент геомагнитного поля в диапазоне геомагнитных пульсаций для магнитных данных с нескольких близко расположенных станций. Отметим, что вопрос о локальности геомагнитных пульсаций ранее тщательно исследовался во многих работах (например, [Пудовкин и др., 1976] и ссылки в ней).

## 2. ИСХОДНЫЕ ДАННЫЕ

Известно, что в периоды геомагнитных возмущений положение границы плазмосферы может существенно отличаться по сравнению с невозмущенным периодом. В дневном секторе магнитосферы может образовываться выступ, который на фазе восстановления геомагнитной бури пересекает магнитную оболочку  $L = 4$ . Это означает, что энергичные частицы кольцевого тока могут взаимодействовать не только с протяженным вечерним выступом, но и с более локализованным дневным выступом плазмосферы. Для настоящего исследования были отобраны два возмущенных дня (10 и 27 июня 2001 г), в течение которых согласно результатам работы [Spasojević et.al., 2003] дневной выступ плазмосферы существовал и пересекал магнитную оболочку  $L = 4$  (рис. 1).

Геомагнитная обстановка в рассматриваемые интервалы времени, характеризовалась индексами интенсивности кольцевого тока  $SYM$ ,  $ASY$  и индексами интенсивности восточного ( $AU$ ) и западного ( $AL$ ) электроджетов (рис. 2). Отобранные интервалы времени соответствуют fazам восстановления магнитной бури и характеризуются слабыми геомагнитными возмущениями ( $-40 \text{ нТл} < Dst < -20 \text{ нТл}$ ).

## 3. СПЕКТРАЛЬНЫЙ АНАЛИЗ ВОЗМУЩЕНИЙ ГОРИЗОНТАЛЬНОЙ КОМПОНЕНТЫ ГЕОМАГНИТНОГО ПОЛЯ НА МЕРИДИОНАЛЬНЫХ ЦЕПОЧКАХ СТАНЦИЙ

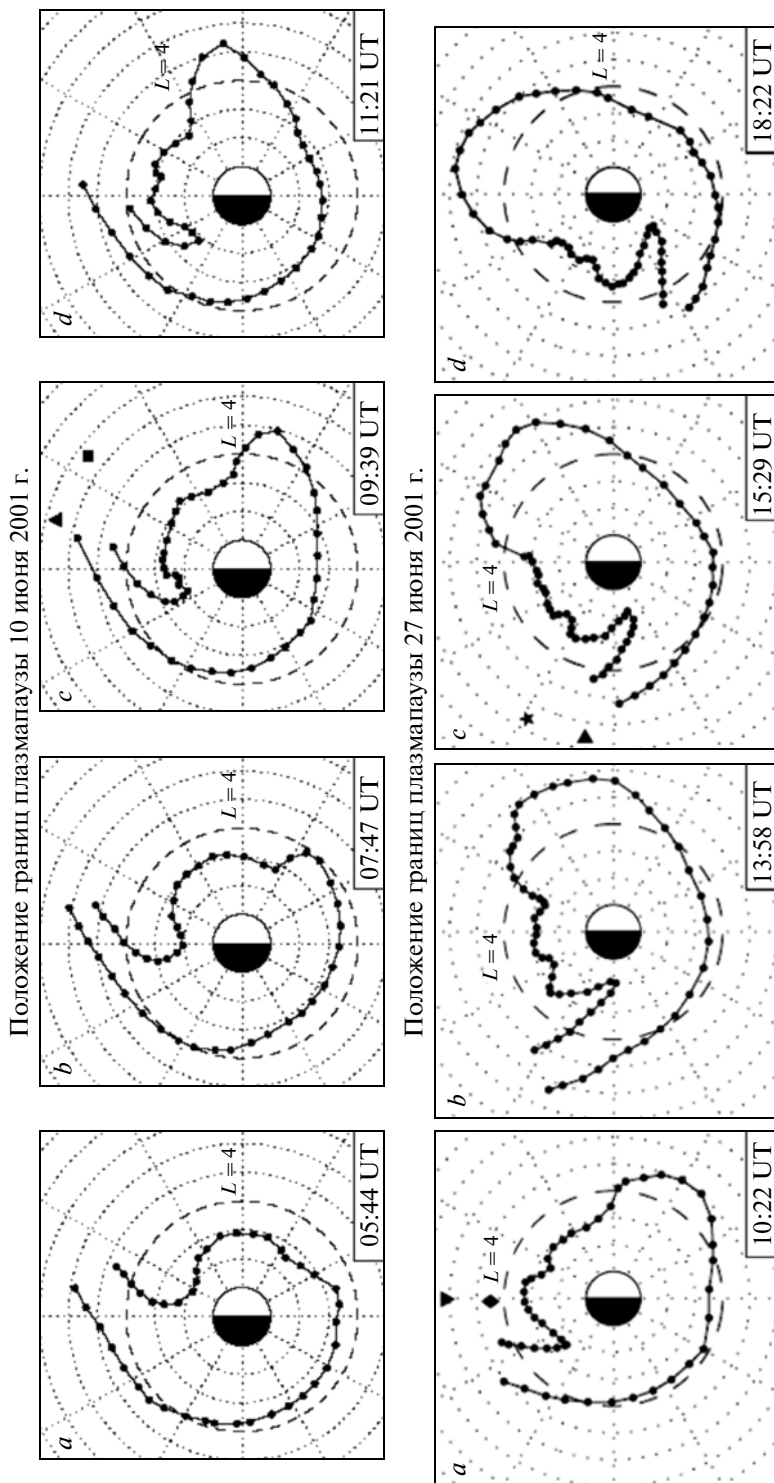
Следствием предполагаемого взаимодействия энергичных ионов кольцевого тока с электромагнитными волнами в области относительно плот-

ной фоновой плазмы вечернего и дневного выступов являются нисходящие продольные токи, замыкающиеся через ионосферу. При сравнительно малой величине полного тока, токи фоновой плазмы в значительной степени компенсируют исходный ток. При превышении током предела Альвена [Альвен и Фельтхаммар, 1967]  $I_A = \frac{mc^3}{e} \gamma \beta = 17\gamma \beta \text{ кА}$ , где  $\beta = u/c$ ,  $\gamma = (1 - u^2/c^2)^{-1/2}$ , где  $u$  — характерная скорость энергичных ионов,  $m$  и  $e$  — масса и величина заряда электрона, компенсация становится не эффективной. Для значительного продольного тока, неоднородного по поперечной координате, характерна неустойчивость альвеновских волн с волновыми векторами почти перпендикулярными магнитному полю [Kozlovsky and Lyatsky, 1997]. Вероятно, что именно поэтому продольные токи часто сопровождаются локальными геомагнитными пульсациями диапазона  $Pc-4$ . Обнаружение в спектре пульсаций диапазона  $Pc-4$  может свидетельствовать о существовании значительных продольных токов [Olson, 1986].

Для проверки этой гипотезы выполнен спектральный анализ горизонтальных компонент геомагнитного поля на магнитных станциях, соответствующих дневному и вечернему выступам плазмосферы. В ходе исследования были отобраны станции вдоль геомагнитного меридиана  $19^\circ$  и  $240^\circ$ . Координаты и обозначения станций вдоль указанных меридианов представлены в табл. 1. Значения магнитных широт, долгот и  $L$ -оболочек рассчитывались по модели IGRF/DGRF [<http://modelweb.gsfc.nasa.gov/models/cgm/cgm.html>].

Расположение станций позволяет исследовать спектры горизонтальной составляющей для двух случаев: 1 — меридиональная цепочка станций находится вне области плазмосферного выступа; 2 — меридиональная цепочка станций находится под выступом плазмосферы. Данные с цепочки станций (BJN, TRO, LOV, HRB, BNG) вдоль меридиана  $19^\circ$  были выбраны для исследования изменений в  $H$ -компоненте под дневным выступом плазмосферы; данные с цепочки станций (CBB, YKS, MEA, NEW, FRN) вдоль меридиана  $240^\circ$  — для исследования изменений под вечерним выступом.

Исследование проводилось на основе данных об изменениях  $H$ -компоненты с минутным разрешением [[http://www.intermagnet.org/Data\\_e.html](http://www.intermagnet.org/Data_e.html)], которые были предварительно “очищены” от Sq-вариации. Рассчитанные амплитудно-частотные спектры  $H$ -компоненты для каждой из станций меридиана  $19^\circ$  представлены на рис. 3. Сопоставление полученных спектров магнитных записей на станциях в соответствии с динамикой дневного выступа плазмосферы показывает, что на магнитных станциях с геомагнитными широтами ниже  $45-57^\circ$  ( $L = 2.04-3.30$ ), отвечающим сило-



**Рис. 1.** Положение границ плазмопаузы 10 и 27 июня 2001 г. Дневной выступ плазмосферы пересекает границу  $L = 4$ . Граница  $L = 4$  отмечена на рисунках пунктирной линией. [Spasojević et al., 2003].

вым линиям области дневного выступа плазмосферы, наблюдается повышение интенсивности высокочастотных частей спектра в диапазоне, отвечающем пульсациям  $Pc$ -4. На более высокоширотных станциях наблюдается общее падение ин-

тенсивности спектров. На рис. 4 представлены спектры  $H$ -компоненты для станций, отвечающих вечернему выступу плазмосферы. Сопоставление спектров в области вечернего выступа плазмосферы показывает, что увеличение интен-

сивности высокочастотных частей спектров наблюдается на всех рассматриваемых станциях.

Таким образом, результаты спектрального анализа магнитных записей на двух меридиональных цепочках станций свидетельствуют о повышении амплитуды частей спектров, соответствующих пульсациям в диапазоне  $Pc$ -4 (с частотами выше  $6 \times 10^{-3} \text{ с}^{-1}$ ), при входе магнитных станций в область силовых линий, отвечающих плазмосферным выступам. Повышение амплитуд частей спектров, которые соответствуют колебаниям в диапазоне частот пульсаций  $Pc$ -4, отмечается на станциях с геомагнитной широтой ниже  $45^\circ$  для дневного выступа, и на всех широтах для вечернего выступа. При учете возможности возникновения продольных токов вследствие развития циклотронной неустойчивости на восточных границах плазмосферных выступов, повышение амплитуд частей спектров в диапазоне пульсаций  $Pc$ -4 может свидетельствовать о нестабильности этих токов отмечаемой в магнитных возмущениях у поверхности Земли. Отличие амплитуд пульсаций внутри и вне дневного и вечернего выступов может объясняться большей протяженностью по  $L$ -оболочкам вечернего выступа плазмосферы по сравнению с дневным выступом.

#### 4. ПРОЯВЛЕНИЕ ПРОДОЛЬНЫХ ТОКОВ, СВЯЗАННЫХ С ДНЕВНЫМ ВЫСТУПОМ ПЛАЗМОСФЕРЫ В ГОРИЗОНТАЛЬНЫХ СОСТАВЛЯЮЩИХ МАГНИТНЫХ ВОЗМУЩЕНИЙ И АНАЛИЗ ИХ ДИНАМИЧЕСКИХ СПЕКТРОВ

Изменение амплитудно-частотных спектров горизонтальных компонент на магнитных станциях имеет место при прохождении как дневного, так и вечернего выступов плазмосферы. Однако оценить вклад в асимметрию  $H$ -компоненты, связанный с вечерним выступом плазмосферы достаточно сложно, поскольку существование этого выступа не обусловлено развитием геомагнитных возмущений. В этом случае рассмотрение дневного выступа является интересным, поскольку он образуется преимущественно на фазе восстановления геомагнитной бури.

Следуя предположению о формировании дополнительного тока вдоль силовых линий вблизи дневного выступа, для рассмотрения были выбраны четыре магнитные станции: ABK, LER, LOV, SOD (см. табл. 2). Для двух рассматриваемых интервалов станции LER и LOV находились под дневным выступом плазмосферы, а станции ABK и SOD – вне его. Геометрия расположения станций представлена на рис. 5. Существование тока вдоль силовых линий, связанного с дневным выступом, можно обнаружить при сравнении магнитных записей  $H$ -компонент на указанных стан-

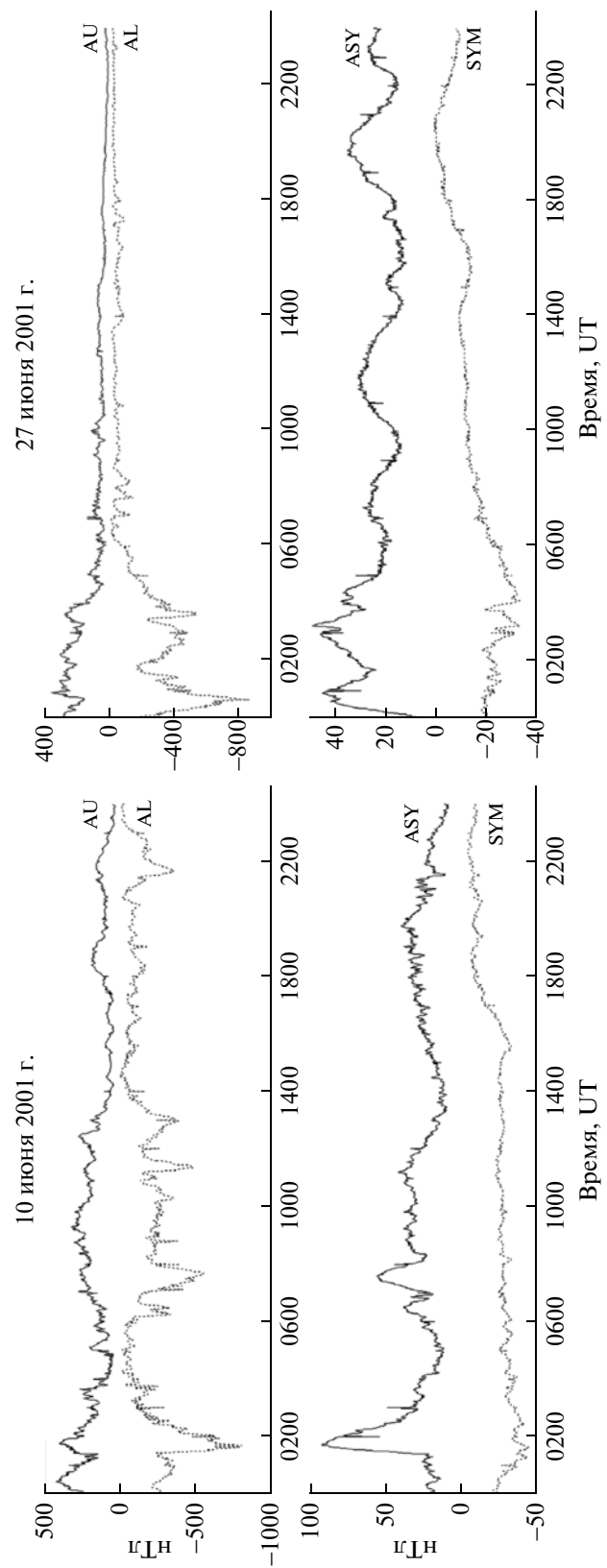


Рис. 2. Геомагнитная обстановка 10 и 27 июня 2001 г., характеризуемая индексами интенсивности кольцевого тока  $SYM$   $ASY$  и индексами интенсивности восточного ( $AU$ ) и западного ( $AL$ ) электроджетов.

**Таблица 1.** Станции вдоль  $19^{\circ}$  и  $240^{\circ}$  меридиана

| Станция       | Сокращенное обозначение | Географическая |         | Геомагнитная |         | $L$  |
|---------------|-------------------------|----------------|---------|--------------|---------|------|
|               |                         | широта         | долгота | широта       | долгота |      |
| Bear Island   | BJN                     | 74.5           | 19.2    | 71.46        | 108.06  | 9.89 |
| Bangui        | BNG                     | 4.333          | 18.566  | —            | 90.32   | 1.02 |
| Cambridge Bay | CBB                     | 69.123         | 254.969 | 77.22        | 309.14  | 9.99 |
| Fresno        | FRN                     | 37.083         | 240.283 | 42.97        | 303.62  | 1.87 |
| Hurbanovo     | HRB                     | 47.873         | 18.19   | 43.02        | 92.74   | 1.87 |
| Lovo          | LOV                     | 59.344         | 17.824  | 55.91        | 95.98   | 3.18 |
| Meanook       | MEA                     | 54.615         | 246.653 | 62.06        | 305.84  | 4.55 |
| Newport       | NEW                     | 48.267         | 242.883 | 54.91        | 303.38  | 3.03 |
| Tromso        | TRO                     | 69.663         | 18.948  | 66.65        | 102.90  | 6.37 |
| Yellowknife   | YKS                     | 62.482         | 245.518 | 69.48        | 300.66  | 8.14 |

**Таблица 2.** Станции в области дневного выступа плазмосферы

| Станция   | Сокращенное обозначение | Географическая |         | Геомагнитная |         | $L$  |
|-----------|-------------------------|----------------|---------|--------------|---------|------|
|           |                         | широта         | долгота | широта       | долгота |      |
| Abisko    | ABK                     | 68.36          | 18.82   | 65.33        | 101.75  | 5.74 |
| Lerwick   | LER                     | 60.13          | 358.82  | 57.97        | 81.00   | 3.56 |
| Lovoe     | LOV                     | 59.34          | 17.82   | 55.91        | 95.98   | 3.18 |
| Sodankyla | SOD                     | 67.37          | 26.63   | 63.94        | 107.26  | 5.18 |

циях. На рис. 6 показаны одновременные записи  $H$ -компонент данных станций 27 и 28 июня 2001 г.

Сопоставление временного хода  $H$ -компонент на станциях, находящихся под дневным выступом (LER, LOV) и станциях вне выступа (ABK, SOD) показывает, что в момент прохождения станциями LER, LOV дневного выступа, наблюдается более значительный провал в горизонтальной составляющей. На рис. 6 для 27 июня 2001 г. разность величин провала  $H$ -компонент на станциях LER, LOV по сравнению со станциями ABK, SOD достигает 20 нТл. Это может означать, что над станциями LER, LOV протекает интенсивный ток, связанный с дневным выступом плазмосферы. Согласно оценкам [Trakhtengerts and Demekhov, 2005], величина продольного тока, образованного высывающимися частицами за счет их изотропизации циклотронными волнами, составляет величину  $J \sim 230$  кА. При сравнении горизонтальных компонент на тех же станциях в геомагнит-

тоспокойный день 28 июня 2001 г. имеет место синхронный ход горизонтальных компонент.

Как отмечалось выше, одним из признаков продольного тока является существование пульсаций диапазона  $Pc$ -4. Обнаружение таких пульсаций и времени их возникновения возможно при анализе динамических спектров. На рис. 7 представлены динамические амплитудно-частотные спектры горизонтальной составляющей геомагнитного поля для трех из рассматриваемых станций 10 и 27 июня 2001 г.

Сопоставление полученных результатов показывает, что при входе станций LER и LOV в область магнитных линий, отвечающих дневному выступу плазмосферы, в  $H$ -компоненте наблюдаются значительные изменения по сравнению со станциями ABK, SOD, находящимися вне его. В спектрах горизонтальной составляющей появляется набор частот, среди которых отмечаются частоты, соответствующие пульсациям диапазона  $Pc$ -4. Это косвенно подтверждает предположение

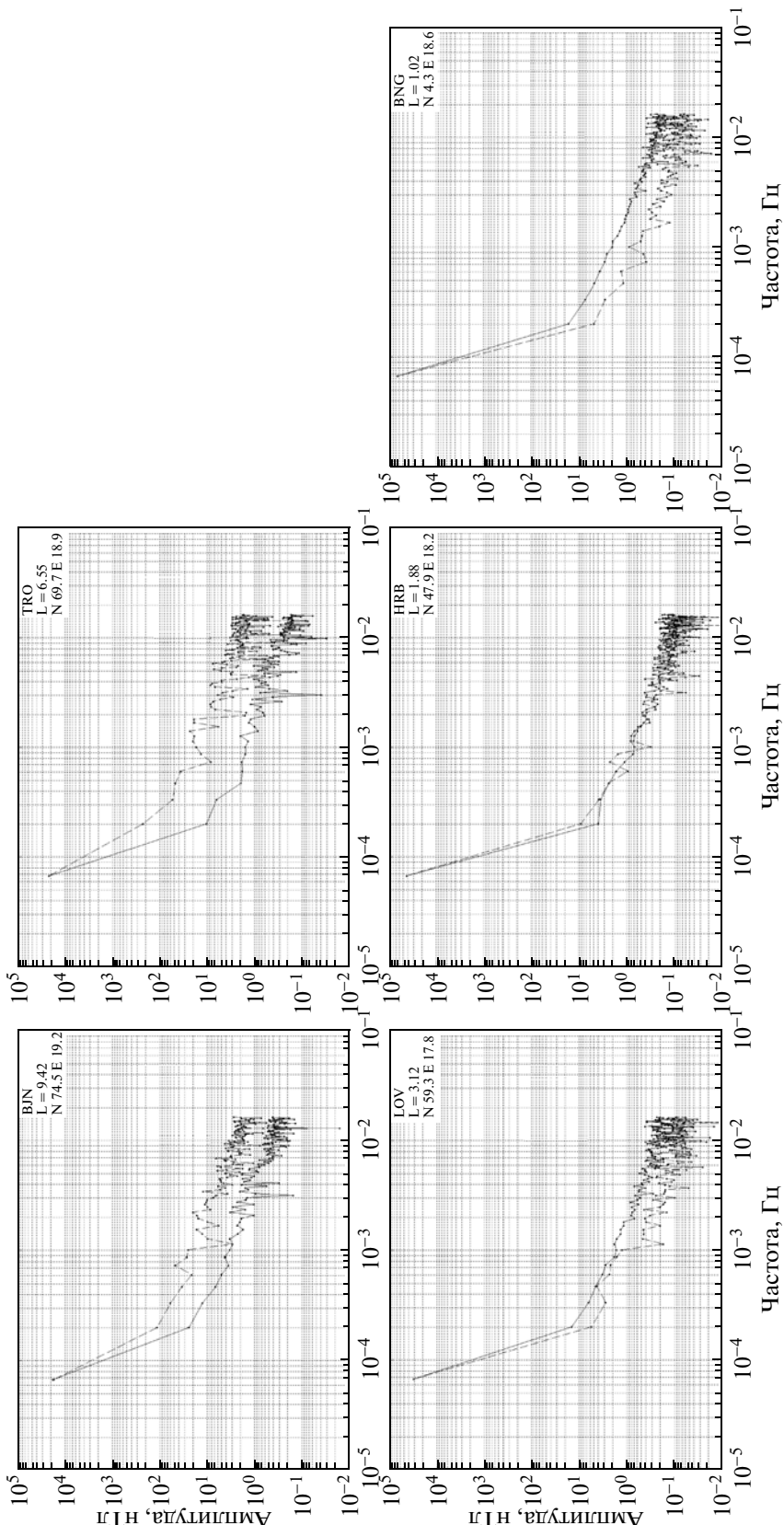
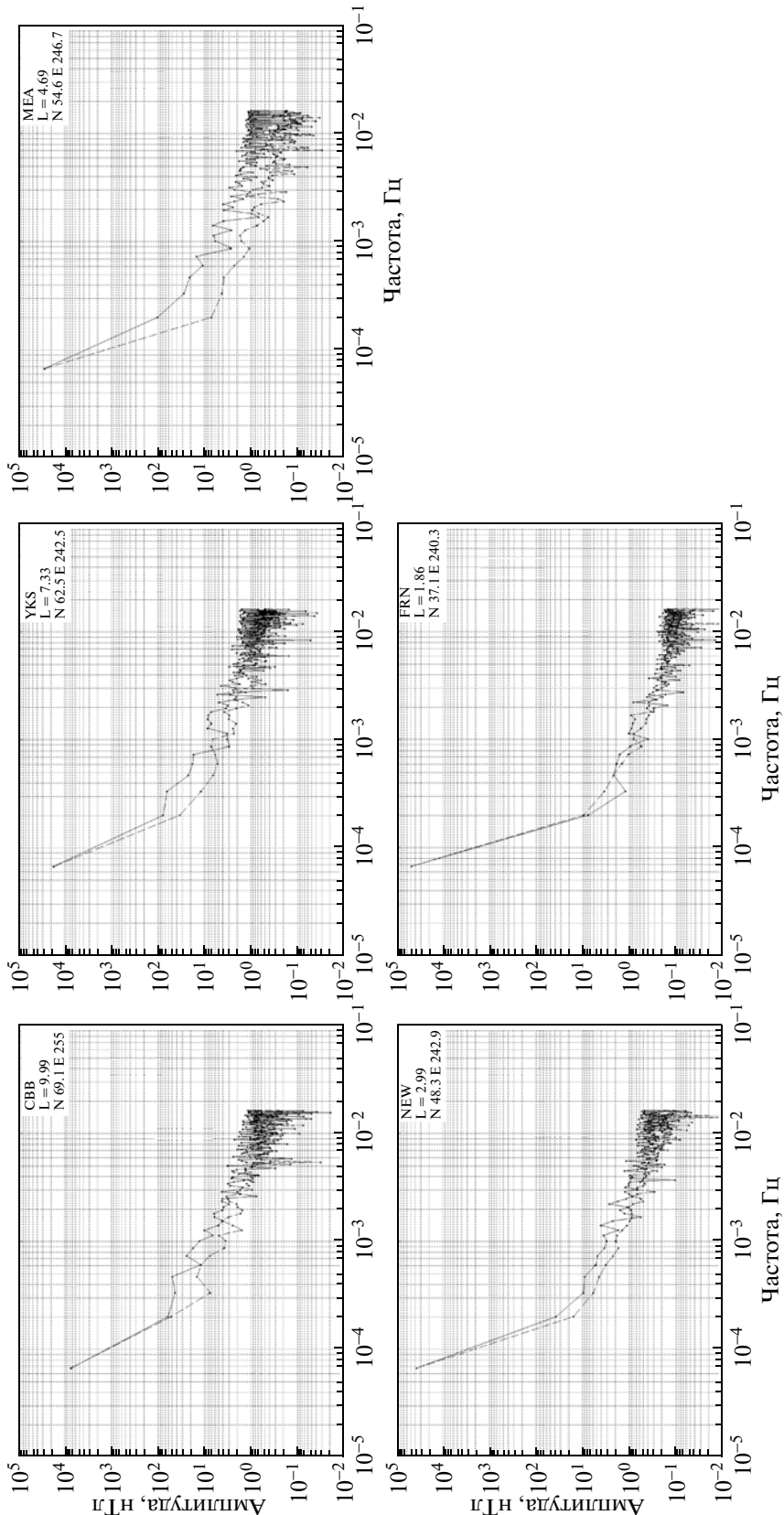


Рис. 3. Амплитудно-частотные спектры магнитных записей горизонтальной составляющей магнитного поля на цепочке станций меридиана 19 в логарифмическом масштабе (27 июня 2001 г.). Пунктирная линия соответствует случаю 1 – цепочка станций еще не вошла в область дневного выступа. Сплошная линия соответствует случаю 2 – станции находятся под дневным выступом плазмосферы.



**Рис. 4.** Амплитудно-частотные спектры магнитных записей цепочки станций меридиана 240 в логарифмическом масштабе (27 июня 2001). Пунктирная линия соответствует случаю I – цепочка станций еще не вошла в область вечернего выступа. Сплошная линия соответствует случаю 2 – станции находятся под вечерним выступом плазмосферы.

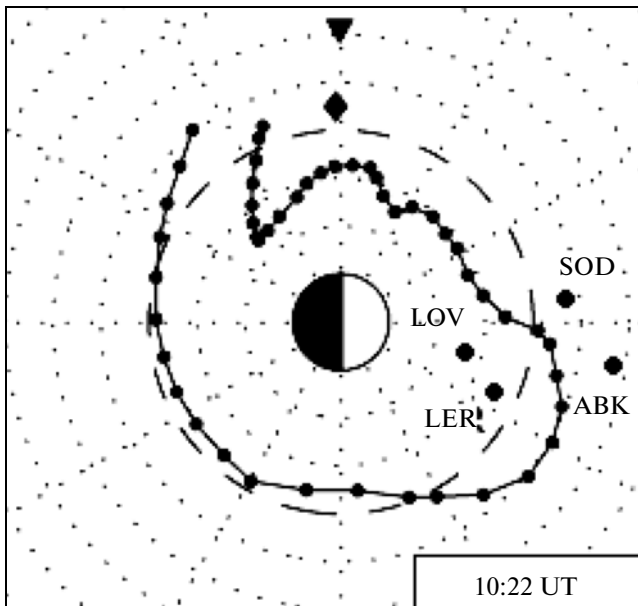


Рис. 5. Расположение геомагнитных станций ABK, LER, LOV, SOD относительно дневного выступа плазмосферы 27 июня 2001 г. Положение границы дневного выступа определено в работе [Spasojević et al., 2003].

о формировании интенсивных токов вдоль силовых линий, возникающих благодаря взаимодействию ионно-циклотронных волн с энергичными ионами в области дневного выступа плазмосферы. Энергичные ионы кольцевого тока попадают в область плазмосферного выступа (дневного или вечернего), в результате чего на восточных границах выступов возникают области циклотронной неустойчивости. Ионно-циклотронные волны, взаимодействуя с энергичными протонами кольцевого тока, изотропизуют их по питч-углам, в результате чего происходят высыпания частиц кольцевого тока в конус потерь [Беспалов и Трахтенгерц, 1986]. Формируется ток вдоль силовых линий, который затем растекается по ионосфере. Согласно работам [Grafe et. al., 1997; Sun and Akasofu, 2000; Бархатов и др., 2008], таким ионосферным током может быть восточный электроджет при взаимодействии в области дневного выступа, и западный электроджет при взаимодействии в области вечернего выступа. Динамические амплитудно-частотные спектры D-составляющей геомагнитного поля демонстрируют аналогичные особенности, но в среднем на три часа раньше.

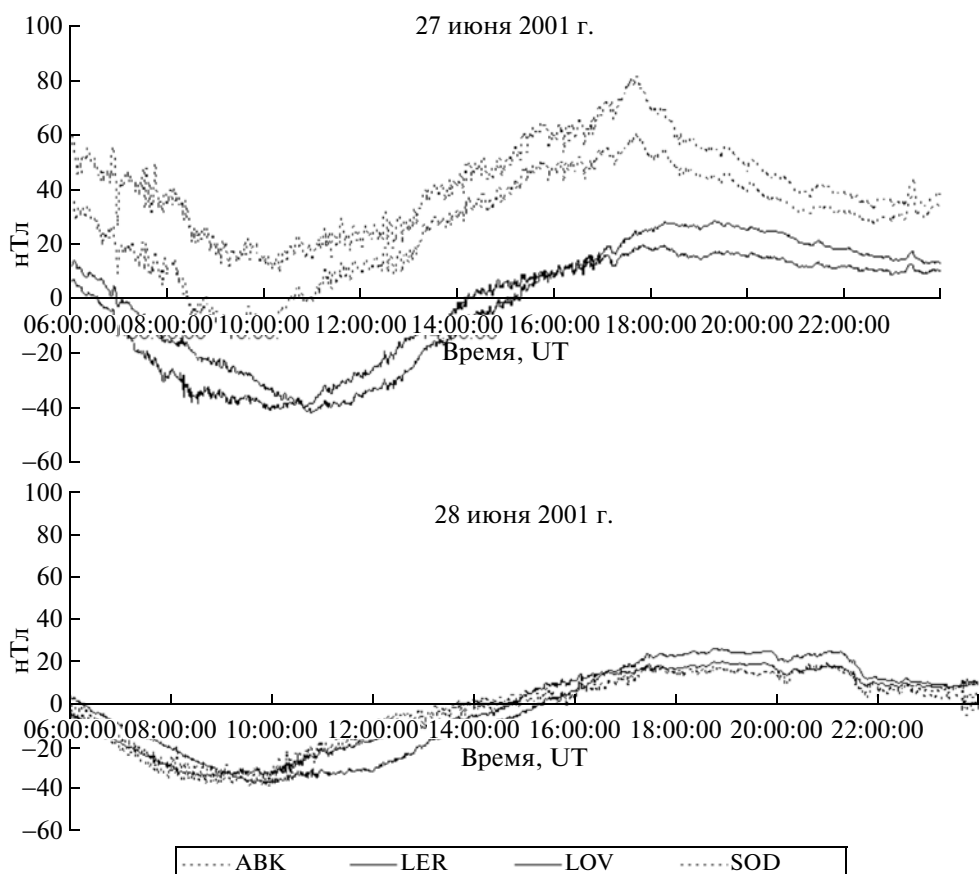
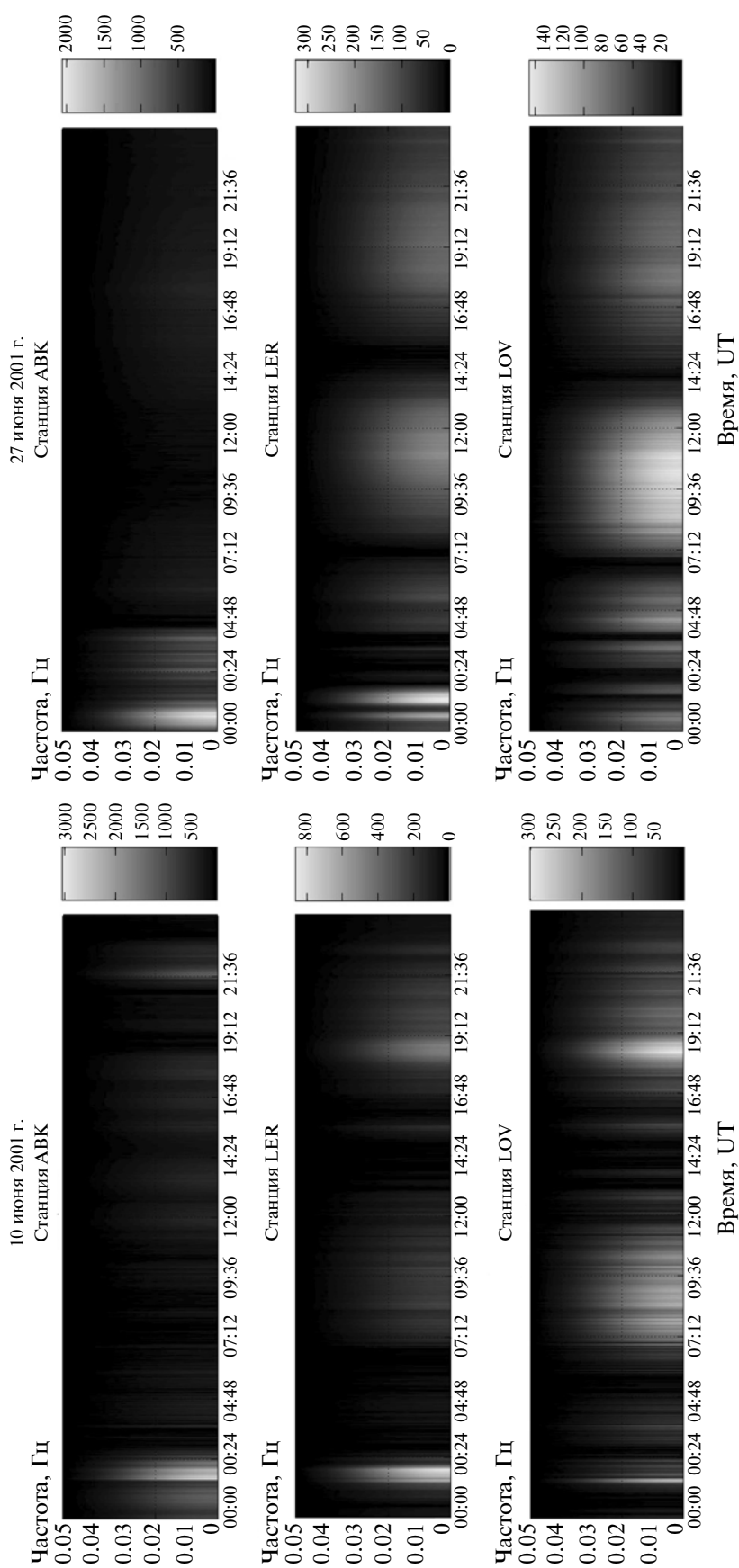


Рис. 6. Магнитные записи на станциях ABK, LER, LOV, SOD 27 и 28 июня 2001 г. Пунктирной линией отмечены станции, находящиеся вне дневного выступа плазмосферы (ABK, SOD), сплошной линией — станции внутри дневного выступа плазмосферы (LER, LOV).



**Рис. 7.** Амплитудно-частотные динамические спектры  $H$ -компоненты для станций АВК, ЛЕР, ЛОВ 10 и 27 июня 2001 г. При построении динамических спектров использованы данные с разрешением 10 сек.

## 5. ВЫВОДЫ

В работе рассмотрено влияние дневного и вечернего выступов плазмосферы на асимметрию и амплитудно-частотные характеристики возмущений наземного геомагнитного поля. Получены следующие результаты:

1. Развитие плазмосферных выступов в периоды повышенной магнитной возмущенности проявляется на поверхности Земли как локальное увеличение интенсивности ряда спектральных составляющих в диапазоне геомагнитных пульсаций.

2. Пространственная локализация дневного выступа плазмосферы позволяет провести сопоставление временного хода горизонтальной составляющей на станциях, находящихся на магнитных линиях, соответствующих этому выступу и станциях, находящихся на том же меридиане за его пределами. Установлено, что при "входе" магнитных станций в область дневного выступа, наблюдается "провал" в горизонтальной составляющей геомагнитного поля. Это может быть связано с формированием дополнительной токовой системы на границе выступа.

3. Проведен сравнительный анализ динамических амплитудно-частотных спектров *H*-компонент для станций, находящихся в области дневного выступа плазмосферы и станций, находящихся за его пределами. При входе магнитных станций в область дневного выступа плазмосферы обнаружены всплески интенсивности на частотах диапазона геомагнитных пульсаций. Обнаружено присутствие пульсаций диапазона *Pc*-4, что является косвенным признаком интенсивного продольного тока в этой области.

Таким образом, развитие циклотронной неустойчивости, обеспечивающей эффективное взаимодействие энергичных ионов кольцевого тока с ионно-циклотронными волнами в области плазмосферных выступов, может привести к формированию продольных токов в окрестностях восточной границы как вечернего, так и дневного плазмосферных выступов. Указанные процессы представляются эффективным механизмом замыкания асимметричного кольцевого тока.

Авторы благодарны Sarah Reay (The British Geological Survey) и Patrik Johansson (Geological Survey of Sweden) за предоставление магнитных записей компонент геомагнитного поля с высоким разрешением.

Работа выполнена при частичной поддержке РФФИ грантов №№ 08-05-12051, 08-02-00979 и 09-05-00495, программы поддержки научных школ НШ-4588.2006.2, программы ОФН № 16 РАН и программы Минобрнауки "Развитие научного потенциала высшей школы (2009–2010 годы, проект № 1623)".

## СПИСОК ЛИТЕРАТУРЫ

- Альвен Г., Фельтхаммар К.-Г. Космическая электродинамика. М.: МИР, 260 с. 1967.
- Бархатов Н.А., Левитин А.Е., Церковнюк О.М. Анализ связи индексов, характеризующих симметричный *SYM* и асимметричный *ASY* кольцевой ток, с индексами активности авроральных электроструй *AE* (*AU*, *AL*) // Геомагнетизм и аэрономия. Т. 48. № 4. С. 520–525. 2008.
- Беспалов П.А., Трахтенгерц В.Ю. Альвеновские мазеры. Горький: Изд-во ИПФ АН СССР, 191 с. 1986.
- Нишида А. Геомагнитный диагноз магнитосфера. М.: Мир, 300 с. 1980.
- Пудовкин М.И., Располов О.М., Клейменова Н.Г. Возмущения электромагнитного поля Земли. Часть 2. Короткопериодные колебания геомагнитного поля. Л.: ЛГУ, 271 с. 1976.
- Яхнин А.Г., Яхнина Т.А., Демехов А.Г. Взаимосвязь локализованных высыпаний энергичных частиц и неоднородностей холодной плазмы в магнитосфере // Геомагнетизм и аэрономия. Т. 46. № 3. С. 349–356. 2006.
- Cornwall J. M., Coroniti F.V., Thorne R.M. Turbulent loss of ring current protons // J. Geophys. Res., V. 75. № 25. P. 4699. 1970.
- Fok M.-C., Kozyra J.U., Nagy A.F., Cravens T.E. Lifetime of ring current particles due to coulomb collisions in the plasmasphere // J. Geophys. Res. V. 96. N. A5. P. 7861. 1991.
- Gafe A., Bespalov P.A., Trakhtengerts V.Y., Demekhov A.G. Afternoon mid-latitude current system and low-latitude geomagnetic field asymmetry during geomagnetic storms // Ann. Geophysicae. V. 15. P. 1537–1547. 1997.
- Jordanova V. K., Kistler L.M., Kozyra J.U., Khazanov G.V., Nagy A.F. Collisional losses of ring current ions // J. Geophys. Res. V. 101. N. A1. P. 111. 1996.
- Jordanova, V.K., Kozyra J.U., Nagy A.F., Khazanov G.V. Kinetic model of the ring current atmosphere interactions // J. Geophys. Res. V. 102. N. A7, P. 14279. 1997.
- Kozlovsky A.E., Lyatsky W.B. Alfvén wave generation by disturbance of ionospheric conductivity in the field-alignend current region // J. Geophys. Res. V. 102. N. A8. P. 17297–17303. 1997.
- Liemohn M.W., Kozyra J.U., Thomsen M.F., Roeder J.L., Lu G., Borovsky J.E., Cayton T.E. Dominant role of the asymmetric ring current in producing the stormtime *Dst*\* // J. Geophys. Res. V. 106. N. A6. P. 10883–10904. 2001.
- Olson J.V. ULF signatures of the polar cusp // J. Geophys. Res. V. 95. N.A9. P. 10055–10062. 1986.
- Spasojević M., Goldstein J., Carpenter D.L., Inan U.S., Sandel B.R., Moldwin M.B., Reinisch B.W. Global response of the plasmasphere to a geomagnetic Disturbance // J. Geoph. Res. V. 108. N. A9. 1340. doi:10.1029/2003JA009987. 2003.
- Sun W., Akasofu S.-I. On the formation of the storm – time ring current belt // J. Geophys. Res. V. 105. N. A3. P. 5411–5418. 1999.
- Trakhtengerts V.Y., Demekhov A.G. Discussion paper: Partial ring current and polarization jet // International Journal of Geomagnetism and Aeronomy. V. 5. GI3007. doi:10.1029/2004GI000091. 2005.